

文章编号:1006-3471(2013)03-0275-06

# Gd<sub>0.2</sub>Ce<sub>0.8</sub>O<sub>2</sub>包覆LaNi<sub>0.6</sub>Fe<sub>0.4</sub>O<sub>3-δ</sub>阴极制备及性能

任睿轩, 黄波\*, 朱新坚, 胡一星, 丁小益, 刘宗尧, 刘烨彬

(上海交通大学 机械与动力工程学院, 燃料电池研究所, 上海 200240)

**摘要:** 应用丝网印刷和共烧结法制备 LaNi<sub>0.6</sub>Fe<sub>0.4</sub>O<sub>3-δ</sub>/Sc<sub>0.1</sub>Zr<sub>0.9</sub>O<sub>1.95</sub>/LaNi<sub>0.6</sub>Fe<sub>0.4</sub>O<sub>3-δ</sub> 对称电池。以硝酸铈和硝酸钆为原料, 柠檬酸作燃料, 燃烧合成 Gd<sub>0.2</sub>Ce<sub>0.8</sub>O<sub>2</sub>(GDC)包覆的 LaNi<sub>0.6</sub>Fe<sub>0.4</sub>O<sub>3-δ</sub> (LNF)阴极。实验表明, 在 750 °C 工作温度下, 纯 LaNi<sub>0.6</sub>Fe<sub>0.4</sub>O<sub>3-δ</sub> 阴极的极化电阻为 0.70 Ω·cm<sup>2</sup>, 而 21.3% (by mass, 下同, 如无特殊标注均为质量分数)GDC 包覆的 LNF-GDC 复合阴极的极化电阻最小(0.13 Ω·cm<sup>2</sup>), 活化能最低(136.80 kJ·mol<sup>-1</sup>), 故其阴极性能最佳。GDC 的包覆加速了气体/阴极/电解质三相界面反应区的扩散过程, 降低了阴极极化电阻。

**关键词:** 固体氧化物燃料电池; LaNi<sub>0.6</sub>Fe<sub>0.4</sub>O<sub>3-δ</sub> 阴极; Gd<sub>0.2</sub>Ce<sub>0.8</sub>O<sub>2</sub> 包覆; 极化电阻; 交流阻抗

**中图分类号:** TM911

**文献标识码:** A

在固体氧化物燃料电池 (Solid Oxide Fuel Cell, SOFC) 的发展过程中, 人们越来越认识到降低电池工作温度的重要性。若能将电池工作温度降低到中温 (600 ~ 800 °C), 则能提高电极的稳定性, 减小热应力, 延长电池寿命, 还可使用廉价的金属合金作为电池的双极板材料<sup>[1-3]</sup>。Cr 基合金因具有成本低、易加工、电子电导率和热导率高、机械稳定性高、耐高温以及抗氧化等优点而成为最有前景的双极板材料<sup>[4-6]</sup>。Cr 基合金用于 SOFC 的双极板时, 高价态 Cr 化合物易挥发, 而低导电性的 Cr<sub>2</sub>O<sub>3</sub>(s) 在阴极/电解质界面的生成与聚集又会降低 SOFC 的电输出性能<sup>[7-10]</sup>, 且 CrO<sub>3</sub>(g) 和 Cr<sub>2</sub>O<sub>3</sub>(s) 可与阴极材料如 (La,Sr)MnO<sub>3</sub> 反应生成绝缘的尖晶石相 (Cr,Mn)<sub>3</sub>O<sub>4</sub>(s), 即发生阴极“Cr 中毒”现象<sup>[11]</sup>, 使电池性能急剧下降。

据 Chiba 等<sup>[12]</sup>报道, LaNi<sub>0.6</sub>Fe<sub>0.4</sub>O<sub>3-δ</sub>(LNF) 800 °C 电导率为 580 S·cm, 为传统阴极 La<sub>0.8</sub>Sr<sub>0.2</sub>MnO<sub>3</sub>(LSM) (180 S·cm) 的 3 倍, 其室温 ~ 1000 °C 热膨胀系数为 11.4 × 10<sup>-6</sup> K<sup>-1</sup>, 更接近于电解质 YSZ(Yttria Stabilized Zirconia, Y<sub>0.08</sub>Zr<sub>0.92</sub>O<sub>1.95</sub>) 的热膨胀系数 10.0 × 10<sup>-6</sup> K<sup>-1</sup>。Zhen 等<sup>[13]</sup>研究也表明 LNF 比 LSM 具有更稳定的电化学性能, Fe-Cr 合金存在时, 其界面上没有 Cr 沉积, LNF 有抗 Cr 毒化作用。然在相同的烧结温度 LNF 较 LSM 更易与 ZrO<sub>2</sub> 基电解质反应<sup>[14-15]</sup>, 如高于 1000 °C 时 LNF 与 ZrO<sub>2</sub> 基电解质反应生成

绝缘的 La<sub>2</sub>Zr<sub>2</sub>O<sub>7</sub>, 降低电池性能。由于 LNF 阴极材料在工作温度下的再氧化以及随后的氧空位浓度的下降<sup>[16]</sup>, 致使 LNF 阴极的初始性能下降。Stodolny 等<sup>[17-18]</sup>研究发现, 由于 CrO<sub>3</sub>(g) 或 CrO<sub>2</sub>(OH)<sub>2</sub>(g) 等挥发性的物质与阴极 LaNi<sub>0.6</sub>Fe<sub>0.4</sub>O<sub>3-δ</sub> 发生反应而使其欧姆电阻和极化电阻增加。本文应用燃烧合成法, 在已烧结的 LNF 阴极表面包覆一层 Gd<sub>0.2</sub>Ce<sub>0.8</sub>O<sub>2</sub>(GDC) 纳米颗粒制成 LNF-GDC 复合阴极, 该阴极的导电性降低不显著, 可阻止 LNF 与电解质 ScSZ(Scandia Stabilized Zirconia, Sc<sub>0.1</sub>Zr<sub>0.9</sub>O<sub>1.95</sub>) 生成绝缘的 La<sub>2</sub>Zr<sub>2</sub>O<sub>7</sub>, 以期增大阴极材料-电解质材料-反应气体三相界面, 改善 LNF 阴极性能。

## 1 实验

### 1.1 LNF-GDC 复合阴极的制备

按 La:Ni:Fe = 1:0.6:0.4(by mole) 称取一定量的 La(NO<sub>3</sub>)<sub>3</sub>·6H<sub>2</sub>O、Ni(NO<sub>3</sub>)<sub>2</sub> 和 Fe(NO<sub>3</sub>)<sub>3</sub>·9H<sub>2</sub>O 配成混合溶液, 加入一定比例的柠檬酸(柠檬酸与硝酸盐的化学配比计算方法参见文献<sup>[19]</sup>), 用氨水将混合液调至中性, 将其 120 °C 加热蒸发, 得褐色干凝胶, 置于坩埚电炉(300 °C 预热)燃烧, 升温至 600 °C 煅烧 2 h 可得黑色 LaNi<sub>0.6</sub>Fe<sub>0.4</sub>O<sub>3-δ</sub> (LNF) 粉体材料。详细的粉体制备方法参见文献<sup>[20]</sup>。

将 LNF 阴极浆料通过丝网印刷覆盖于 ScSZ 片(厚约 200 μm)两侧, 1050 °C 煅烧 2 h 印制成

LNF/ScSZ/LNF 对称电池 (面积为  $1\text{ cm} \times 1\text{ cm} = 1\text{ cm}^2$ ).

GDC 溶液(见文献<sup>[21]</sup>):按 Gd:Ce = 1:4(by mole) 取一定量的  $\text{Gd}(\text{NO}_3)_3 \cdot 6\text{H}_2\text{O}$  和  $\text{Ce}(\text{NO}_3)_3 \cdot 6\text{H}_2\text{O}$  与一定化学计量比的柠檬酸溶于蒸馏水中, 配制成  $\text{Gd}^{3+}$  浓度为  $0.4\text{ mol} \cdot \text{L}^{-1}$  的溶液. 将上述 LNF 阴极浸入此溶液, 在低于  $200\text{ MPa}$  真空度下保持 30 min, 使溶液充分浸润 LNF, 又将其移置于烘箱  $75^\circ\text{C}$  烘干, 移入预热至  $450^\circ\text{C}$  的坩埚电炉内即升温至  $600^\circ\text{C}$ , 保温 2 h. 按上述步骤重复数次, 即得  $\text{Gd}_{0.2}\text{Ce}_{0.8}\text{O}_2$  (GDC)( $\leq 50\text{ nm}$ ) 包覆的 LNF 对称电池, 铂网为电流收集体.

## 1.2 LNF-GDC 复合阴极的表征

采用阿基米德排水法测试 GDC 包覆的 LNF 阴极样品的孔隙率, 使用 Solartron 1260 阻抗仪测试电池交流阻抗(开路), 测试频率  $10\text{ mHz} \sim 100\text{ kHz}$ , 交流阻抗输入信号  $20\text{ mV}$ , 工作温度:  $650^\circ\text{C}$ 、 $700^\circ\text{C}$ 、 $750^\circ\text{C}$ 、 $800^\circ\text{C}$  和  $850^\circ\text{C}$ . 使用扫描电子显微镜(SEM, PHILIPS 515 型)观察材料微观形貌.

## 2 结果与讨论

### 2.1 LNF-GDC 复合阴极表征

表 1 给出不同 GDC 包覆量的 LNF-GDC 复合阴极的孔隙率. 可以看出, 纯 LNF 阴极的孔隙率为 38.1%, 经 1 次包覆后, 其孔隙率为 32.2%, GDC 包覆量为 4.7% (5.9%, by volume). 包覆次数增加, GDC 包覆量也逐渐递增, 其阴极孔隙率降低. 经 6 次包覆 GDC, 其阴极孔隙率降为 0.05%.

表 1 不同 GDC 包覆量的 LNF-GDC 复合阴极的孔隙率参数  
Tab. 1 Porosity and GDC loading of the impregnated LNF cathode

Coating cycle	0	1	2	4	5	6
Porosity/%	38.1	32.2	24.6	13.1	6.2	0.05
Loading/% (by mass)	0	4.7	8.1	15.9	21.3	26.9
Loading/% (by volume)	0	5.9	13.5	25.0	31.9	38.1

图 1 示出 21.3% (A) 和 26.9% (B) GDC 包覆量的 LNF-GDC 复合阴极的 SEM 照片. 可以看出, 包覆量 21.3% 时, GDC 颗粒覆盖于 LNF 颗粒表面, 彼此联通, 形成网络. 包覆量增至 26.9% 时, GDC 颗粒堵塞阴极气孔, 使阴极孔隙率下降.

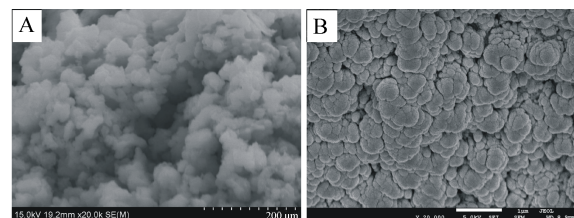


图 1 21.3% (A) 和 26.9% (B) GDC 包覆量的 LNF-GDC 复合阴极的 SEM 照片

Fig. 1 SEM images of 21.3% (A) and 26.9% (B) GDC-impregnated LNF-GDC composite cathodes

### 2.2 LNF-GDC 复合阴极电化学性能

图 2 给出不同 GDC 包覆量的 LNF-GDC 复合阴极分别在  $750^\circ\text{C}$ (A) 和  $800^\circ\text{C}$ (B) 工作温度下的交流阻抗谱图和等效电路图(C). 由图可知, 该阻抗谱图是由高频弧和低频弧组成. 其高频弧对应于阴极/电解质界面的电化学反应过程(界面极化电阻或电荷传递电阻  $R_{ct}$ ), 低频弧对应于气体扩散过程(浓差极化电阻  $R_d$ ), 阴极极化电阻  $R_p = R_{ct} + R_d$ <sup>[22-25]</sup>,  $R_\Omega$  为对称电池的欧姆电阻. 随 GDC 包覆量增加, 其阴极的电荷传递电阻  $R_{ct}$  变化甚微, 而浓差极化电阻  $R_d$  渐减, 欧姆电阻  $R_\Omega$  几乎不变. 包覆量增至 26.9%, 欧姆电阻  $R_\Omega$  显著增加, 阴极浓差极化电阻  $R_d$  也递增.  $650^\circ\text{C}$ 、 $700^\circ\text{C}$  以及  $850^\circ\text{C}$  工作温度下阴极的交流阻抗谱图具有同样的趋势.

图 3 和图 4 分别给出不同工作温度下 GDC 包覆量与对称电池的欧姆电阻  $R_\Omega$  和阴极极化电阻  $R_p$  的关系图. 由图发现, 同工作温度下 GDC 包覆量由 0 增至 21.3%, 其对称电池的欧姆电阻几乎不变, 而阴极极化电阻逐渐降低. 显然, GDC 包覆极大地改善了该电极的电化学性能, GDC 的存在加速气体/阴极/电解质三相界面反应区的扩散过程, 降低阴极极化电阻<sup>[26]</sup>. GDC 包覆量为 21.3% 的 LNF-GDC 复合阴极, 其极化电阻最低, 在  $850^\circ\text{C}$ 、 $800^\circ\text{C}$ 、 $750^\circ\text{C}$ 、 $700^\circ\text{C}$  和  $650^\circ\text{C}$  工作温度其值分别为  $0.03\text{ } \Omega \cdot \text{cm}^2$ 、 $0.06\text{ } \Omega \cdot \text{cm}^2$ 、 $0.13\text{ } \Omega \cdot \text{cm}^2$ 、 $0.29\text{ } \Omega \cdot \text{cm}^2$  和  $1.47\text{ } \Omega \cdot \text{cm}^2$ ; 而纯 LNF 阴极的极化电阻在相应工作温度下分别为  $0.12\text{ } \Omega \cdot \text{cm}^2$ 、 $0.28\text{ } \Omega \cdot \text{cm}^2$ 、 $0.70\text{ } \Omega \cdot \text{cm}^2$ 、 $1.91\text{ } \Omega \cdot \text{cm}^2$  和  $5.62\text{ } \Omega \cdot \text{cm}^2$ .  $750^\circ\text{C}$  时, GDC 包覆量为 21.3% 的 LNF-GDC 复合阴极的极化电阻( $0.13\text{ } \Omega \cdot \text{cm}^2$ )比纯 LNF 阴极的极化电阻( $0.70\text{ } \Omega \cdot \text{cm}^2$ )降低了大约 4 倍. 但当包覆量增至 26.9% 时, 其欧姆电阻急剧增加, 阴极极化电阻亦

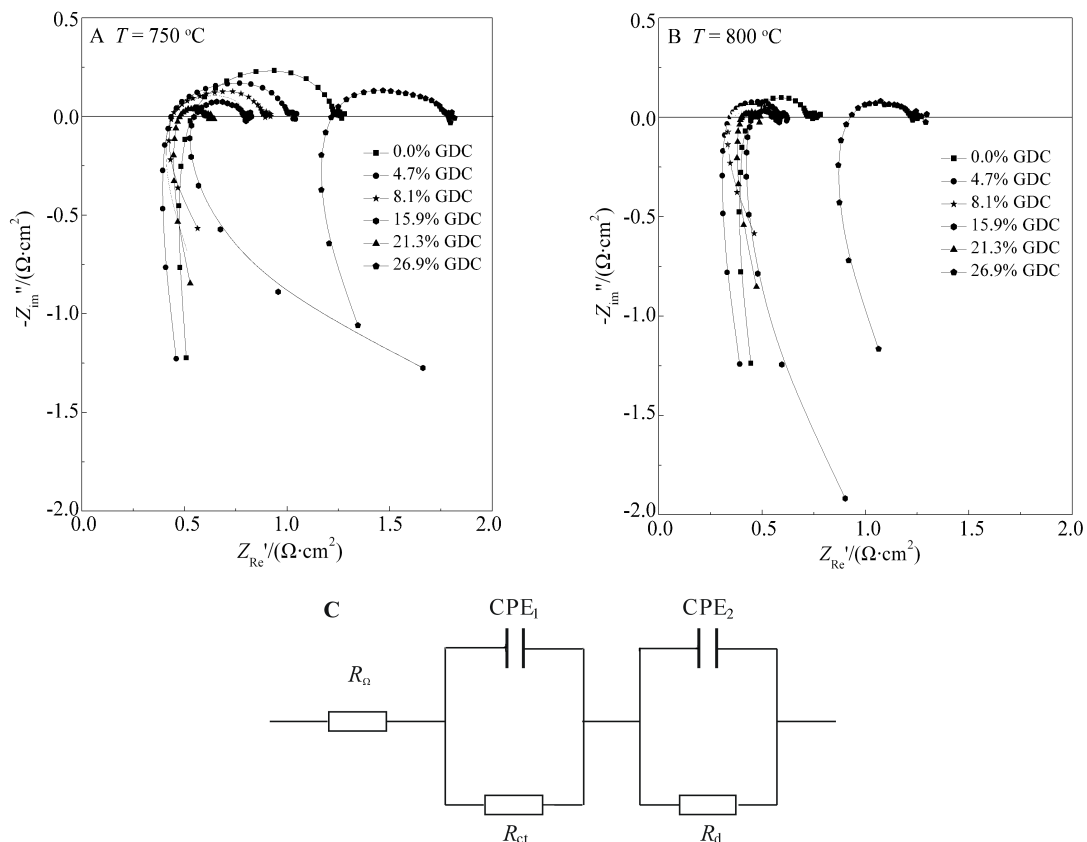


图 2 不同 GDC 包覆量的 LNF-GDC 复合阴极在工作温度 750 °C(A)和 800 °C(B)的电化学阻抗谱图及等效电路图(C)

Fig. 2 Electrochemical impedance spectra of the LNF-GDC composite cathode with different contents of GDC measured at 750 °C(A), 800 °C (B) in air and the equivalent circuit for data fitting (C)

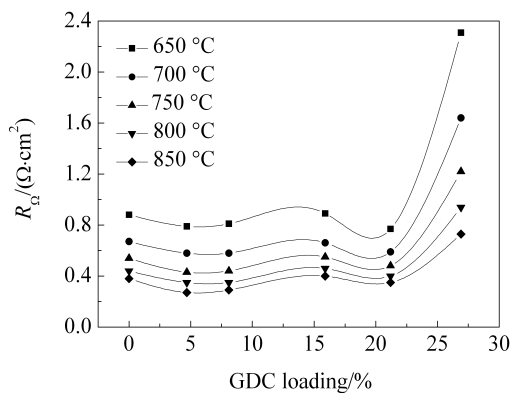


图 3 不同温度下测得对称电池欧姆电阻与 GDC 包覆量变化的示意图

Fig. 3 Plots of ohmic resistance of symmetrical cell versus the contents of GDC obtained at different temperatures

增加。这是因为, GDC 是氧离子导体, 26.9% GDC 包覆的 LNF-GDC 复合阴极的孔隙率接近于 0, 导致欧姆电阻增加、气相传输过程减弱和浓差极化增

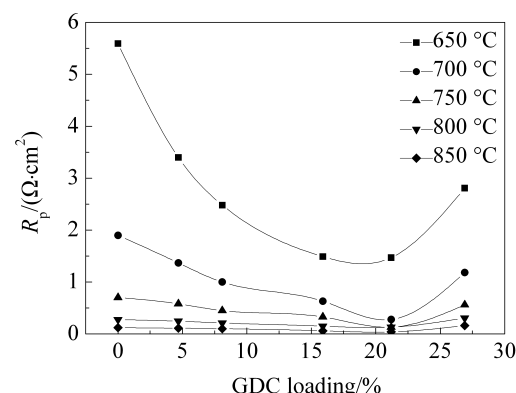


图 4 不同温度下测得对称电池阴极极化电阻与 GDC 包覆量变化的示意图

Fig. 4 Plots of polarization resistance of LNF-GDC composite cathodes versus the contents of GDC obtained at different temperatures

加。GDC 包覆量 21.3% 的 LNF-GDC 复合阴极有最低的阴极极化电阻值, 这源于离子导体和电子导体达到适当的比率。

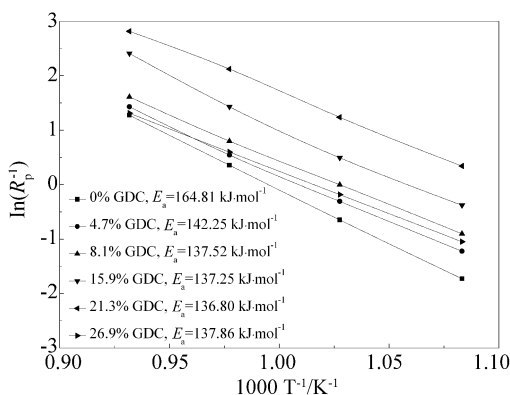


图 5 不同 GDC 包覆量 LNF-GDC 复合阴极的阿伦尼乌斯曲线

Fig. 5 Arrhenius curves of LNF-GDC composite cathodes with different contents of GDC

图 5 给出不同 GDC 包覆量的 LNF-GDC 复合阴极的阿伦尼乌斯曲线, 据式:

$$\frac{1}{R_p} = A \cdot \exp\left(-\frac{E_a}{kT}\right) \quad (1)$$

其中,  $A$  为常数,  $k$  为波尔兹曼常数,  $E_a$  为活化能,  $R_p$  为极化电阻。从阿伦尼乌斯曲线斜率可得活化能, 纯 LNF 阴极的活化能为  $164.81 \text{ kJ} \cdot \text{mol}^{-1}$ , 4.7% GDC、8.1% GDC、15.9% GDC、21.3% GDC、26.9% GDC 包覆的 LNF 复合阴极的活化能分别为  $142.25 \text{ kJ} \cdot \text{mol}^{-1}$ 、 $137.52 \text{ kJ} \cdot \text{mol}^{-1}$ 、 $137.25 \text{ kJ} \cdot \text{mol}^{-1}$ 、 $136.80 \text{ kJ} \cdot \text{mol}^{-1}$  和  $137.86 \text{ kJ} \cdot \text{mol}^{-1}$ 。其中 21.3% GDC 包覆的 LNF-GDC 复合阴极的活化能最小, 其性能最佳。

### 3 结 论

由燃烧合成法在已烧结的 LNF 阴极表面包覆 GDC 制成的 LNF-GDC 复合阴极, 随 GDC 包覆量 ( $\leq 21.3\%$ ) 增加, 其欧姆电阻几乎不变, 极化电阻显著减小; 21.3% GDC 包覆其颗粒相互接触形成联通网络, 而 GDC 包覆量增至 26.9% 其颗粒堵塞阴极气孔, 欧姆电阻显著增加。21.3% GDC 包覆的 LNF-GDC 复合阴极性能最佳。在  $850^\circ\text{C}$ 、 $800^\circ\text{C}$ 、 $750^\circ\text{C}$ 、 $700^\circ\text{C}$  和  $650^\circ\text{C}$  工作温度其极化电阻分别为  $0.03 \Omega \cdot \text{cm}^2$ 、 $0.06 \Omega \cdot \text{cm}^2$ 、 $0.13 \Omega \cdot \text{cm}^2$ 、 $0.29 \Omega \cdot \text{cm}^2$  和  $1.47 \Omega \cdot \text{cm}^2$ , 纯 LNF 阴极的极化电阻分别为  $0.12 \Omega \cdot \text{cm}^2$ 、 $0.28 \Omega \cdot \text{cm}^2$ 、 $0.70 \Omega \cdot \text{cm}^2$ 、 $1.91 \Omega \cdot \text{cm}^2$  和  $5.62 \Omega \cdot \text{cm}^2$ 。 $750^\circ\text{C}$  工作温度时, 21.3% GDC 包覆量的 LNF-GDC 复合阴极极化电阻较纯 LNF 阴极的极化电阻降低约 4 倍, 其活化能为  $136.80 \text{ kJ} \cdot \text{mol}^{-1}$ , 阴极电化学性能最佳。

### 参 考 文 献(References):

- [1] Lv S Q(吕世权), Long G H(龙国徽), Meng X W(孟祥伟), et al. Perovskite cathode for solid oxide fuel cells[J]. Chinese Journal of Power Source (电源技术), 2010, 34(7): 734-737.
- [2] Guo Y B(郭友斌), Lu L H(陆丽华), Chu L(储凌), et al. Research progress in perovskite-like cathode for intermediate temperature solid oxide fuel cells[J]. Bulletin of the Chinese Ceramic Society(硅酸盐通报), 2009, 28(5): 991-996.
- [3] Wu L W(邬理伟), Zheng Y P(郑颖平), Sun Y M(孙岳明), et al. Research progress in composite cathode of SOFC[J]. Chinese Battery Industry(电池工业), 2010, 15(1): 53-56.
- [4] Kadowaki T, Shiomitsu T, Marsuda E, et al. Applicability of heat resisting alloys to the separator of planar type solid oxide fuel cell[J]. Solid State Ionics, 1993, 67(1/2): 65-69.
- [5] Yang Z, Weil K S, Paxton D M, et al. Selection and evaluation of heat-resistant alloys for SOFC interconnect applications[J]. Journal of the Electrochemical Society, 2003, 150(9): A1188-A1201.
- [6] Horita T, Xiong Y, Kishimoto H, et al. Application of Fe-Cr alloys to solid oxide fuel cells for cost-reduction: Oxidation behavior of alloys in methane fuel[J]. Journal of Power Sources, 2004, 131(1/2): 293-298.
- [7] Tucker M C, Kurokawa H, Jacobson C P, et al. A fundamental study of chromium deposition on solid oxide fuel cell cathode materials[J]. Journal of Power Sources, 2006, 160(1): 130-138.
- [8] Konysheva E, Penkalla H, Wessel E, et al. Chromium poisoning of perovskite cathodes by the ODS alloy Cr<sub>5</sub>Fe<sub>1</sub>Y<sub>2</sub>O<sub>3</sub> and the high chromium ferritic steel Crofer22APU[J]. Journal of the Electrochemical Society, 2006, 153(4): A765-A773.
- [9] Yokokawa H, Horita T, Sakai N, et al. Thermodynamic considerations on Cr poisoning in SOFC cathodes[J]. Solid State Ionics, 2006, 177(35/36): 3193-3198.
- [10] Liu D J, Almer J, Cruse T. Characterization of Cr poisoning in a solid oxide fuel cell cathode using a high energy X-ray microbeam [J]. Journal of the Electrochemical Society, 2010, 157(5): B744-B750.
- [11] Horita T, Xiong Y P, Kishimoto H, et al. Chromium poisoning and degradation at (La,Sr)MnO<sub>3</sub> and (La,Sr)FeO<sub>3</sub> cathodes for solid oxide fuel cells[J]. Journal of the Electrochemical Society, 2010, 157(5): B614-B620.
- [12] Chiba R, Yoshimura F, Sakurai Y. An investigation of

- $\text{LaNi}_{1-x}\text{Fe}_x\text{O}_3$  as a cathode material for solid oxide fuel cells[J]. Solid State Ionics, 1999, 124(3/4): 281-288.
- [13] Zhen Y D, Tok A I Y, Jiang S P, et al.  $\text{La}(\text{Ni}_x\text{Fe})\text{O}_3$  as a cathode material with high tolerance to chromium poisoning for solid oxide fuel cells[J]. Journal of Power Sources, 2007, 170(1): 61-66.
- [14] Orui H, Watanabe K, Chiba R, et al. Application of  $\text{LaNi}(\text{Fe})\text{O}_3$  as SOFC cathode[J]. Journal of the Electrochemical Society, 2004, 151(9): A1412-A1417.
- [15] Bevilacqua M, Montini T, Tavagnacco C, et al. Preparation, characterization, and electrochemical properties of pure and composite  $\text{LaNi}_{0.6}\text{Fe}_{0.4}\text{O}_3$ -based cathodes for IT-SOFC[J]. Chemistry of Materials, 2007, 19: 5926-5936.
- [16] Hashimoto S I, Kammer K, Larsen P H, et al. A study of  $\text{Pr}_{0.7}\text{Sr}_{0.3}\text{Fe}_{1-x}\text{Ni}_x\text{O}_{3-\delta}$  as a cathode material for SOFCs with intermediate operating temperature[J]. Solid State Ionics, 2005, 176:1013-1020.
- [17] Stodolny M K, Boukamp B A, Blank D H A, et al. Impact of Cr-poisoning on the conductivity of  $\text{LaNi}_{0.6}\text{Fe}_{0.4}\text{O}_3$  [J]. Journal of Power Sources, 2011(22), 196: 9290-9298.
- [18] Stodolny M K, Boukamp B A, Blank D H A, et al. Cr-poisoning of a  $\text{LaNi}_{0.6}\text{Fe}_{0.4}\text{O}_3$  cathode under current load[J]. Journal of Power Sources, 2012, 209: 120-129.
- [19] Jain S R, Adiga K C, Vemeker V R P. A new approach to thermochemical calculation of condensed fuel-oxidizer mixtures[J]. Combustion and Flame, 1981, 40(1): 71-76.
- [20] Liu H(刘珩), Huang B(黄波), Zhu X J(朱新坚). Preparation and characterization of the  $\text{LaNi}_{0.6}\text{Fe}_{0.4}\text{O}_{3-\delta}$  cathode for intermediate temperature solid oxide fuel cell [J]. Journal of Electrochemistry(电化学), 2011, 17(4): 421-426.
- [21] Huang B, Ye X F, Wang S R, et al. Performance of Ni/ScSZ cermet anode modified by coating with  $\text{Gd}_{0.2}\text{Ce}_{0.8}\text{O}_2$  for a SOFC running on methane fuel[J]. Journal of Power Sources, 2006, 162(2): 1172-1181.
- [22] Zhou W, Ran R, Shao Z P, et al. Electrochemical performance of silver-modified  $\text{Ba}_{0.5}\text{Sr}_{0.5}\text{Co}_{0.8}\text{Fe}_{0.2}\text{O}_{3-\delta}$  cathodes prepared via electrodes deposition[J]. Electrochimica Acta, 2008, 53(13): 4370-4380.
- [23] Adler S B. Limitations of charge-transfer models for mixed-conducting oxygen electrodes [J]. Solid State Ionics, 2000, 135: 603-612.
- [24] Fu C J, Sun K N, Zhang N, et al. Electrochemical characteristics of LSCF-GDC composite cathodes for intermediate temperature SOFC[J]. Electrochimica Acta, 2007, 52(13): 4589-4594.
- [25] Qiang F, Sun K N, Zhang N Q, et al. Characterization of electrical properties of GDC doped A-site deficient LSCF based composite cathode using impedance spectroscopy[J]. Journal of Power Sources, 2007, 168: 338-345.
- [26] Jiang S P, Leng Y J, Chan S H, et al. Development of  $(\text{La},\text{Sr})\text{MnO}_3$ -based cathodes for intermediate temperature solid oxide fuel cells[J]. Electrochemical and Solid-State Letters, 2003, 6(4): A67-A70.
- [27] Li J L, Wang S R, Wang Z R, et al.  $(\text{La}_{0.74}\text{Bi}_{0.10}\text{Sr}_{0.16})\text{MnO}_{3-\delta}\text{Ce}_{0.8}\text{Gd}_{0.2}\text{O}_{2-\delta}$  cathodes fabricated by ion-impregnating method for intermediate-temperature solid oxide fuel cells[J]. Journal of Power Sources, 2009, 188(2): 453-457.

# Fabrication and Performance of $\text{LaNi}_{0.6}\text{Fe}_{0.4}\text{O}_{3-\delta}$ Cathode Modified by Coating with $\text{Gd}_{0.2}\text{Ce}_{0.8}\text{O}_2$ for Intermediate Temperature Solid Oxide Fuel Cell

REN Rui-xuan, HUANG Bo\*, ZHU Xin-jian, HU Yi-xing, DING Xiao-yi,  
LIU Zong-yao, LIU Ye-bin

(Institute of Fuel Cell, School of Mechanical Engineering, Shanghai Jiaotong University,  
Shanghai 200240, China)

**Abstract:** The symmetric cell of  $\text{LaNi}_{0.6}\text{Fe}_{0.4}\text{O}_{3-\delta}/\text{Sc}_{0.1}\text{Zr}_{0.9}\text{O}_{1.95}/\text{LaNi}_{0.6}\text{Fe}_{0.4}\text{O}_{3-\delta}$  was fabricated with screen printing method. A  $\text{LaNi}_{0.6}\text{Fe}_{0.4}\text{O}_{3-\delta}$  (LNF) cathode was modified by coating with nano-sized gadolinium-doped ceria (GDC,  $\text{Gd}_{0.2}\text{Ce}_{0.8}\text{O}_2$ ) prepared using a simple combustion process within the pores of the cathode. According to the electrochemical impedance spectra (EIS), the polarization resistance of the pure LNF was  $0.70 \Omega \cdot \text{cm}^2$  at  $750^\circ\text{C}$ , while  $0.13 \Omega \cdot \text{cm}^2$  for the 21.3%GDC (by mass)-coated LNF cathode at the same temperature, which was only 1/5 of that of the pure LNF cathode. The activation energy of the 21.3% GDC (by mass)-coated LNF cathode ( $136.80 \text{ kJ} \cdot \text{mol}^{-1}$ ) is the smallest among those of GDC-coated LNF cathodes with different contents of GDC. The 21.3% GDC (by mass)-coated LNF cathode showed the optimum performance. The results indicated that GDC coatings significantly affected electrocatalytic activity of the LNF cathodes towards  $\text{O}_2$  reduction reaction. The improved performance of GDC-coated LNF cathode was attributed to the extended triple-phase boundary (TPB) and enhanced ion conductivity of oxide.

**Key words:** solid oxide fuel cell;  $\text{LaNi}_{0.6}\text{Fe}_{0.4}\text{O}_{3-\delta}$  cathode;  $\text{Gd}_{0.2}\text{Ce}_{0.8}\text{O}_2$  coating; polarization resistance; electrochemical impedance spectroscopy